

УДК 621.7

В.Л. Хорольский

Кременчугский национальный университет имени Михаила Остроградского

К вопросам определения напряженно-деформированного состояния при отрезке деталей в штампах

В работе рассмотрены вопросы определения нормальных и касательных нагрузок, действующих на режущие кромки отрезных штампов, получены уравнения для определения произвольных постоянных нагрузки. Выполнены экспериментальные исследования определения направления течения отрезаемого металла.

отрезные штампы, режущие кромки, напряжения, течение металла

В.Л. Хорольський

Кременчуцький національний університет імені Михайла Остроградського

До питань визначення напружено-деформованого стану при відрізанні деталей у штампах

У роботі розглянуті питання визначення нормальних і дотичних напружень, що діють на різальні кромки відрізних штампів, отримані рівняння для визначення похідних постійних навантаження. Виконано експериментальні дослідження визначення напрямку течії металу, що відрізають.

відрізні штампи, різальні кромки, напруження, течія металу

Постановка задач исследований. Повышение производительности процесса обработки кромок листовых деталей под сварку с применением штамповой оснастки и прессового оборудования является важной задачей производства сельскохозяйственной техники. Однако при этом остается проблема стойкости штампового инструмента. При этом трудности внедрения более износостойких твердосплавных разделительных штампов усугубляются недостаточной разработкой теории процесса резки штампами. Большинство твердосплавных отрезных штампов выходит из строя вследствие хрупкого разрушения – скальвания режущих кромок матриц и пuhanсонов. Поэтому изучение хрупкого разрушения режущих кромок штампового инструмента является актуальным.

Хрупкое разрушение при отрезке происходит, когда возникающие в режущей части матриц и пuhanсонов напряжения превосходят предел прочности материала инструмента при повторных ударных нагрузках. Для определения напряжений, возникающих в режущей части матриц и пuhanсонов, необходимо знать нагрузки, действующие на режущие кромки в процессе отрезки. Эти нагрузки обусловливаются напряженным состоянием отрезаемого материала в зоне действия рабочих элементов штампа.

Поэтому одной из основных задач настоящего исследования является определение нагрузок, действующих по контактным поверхностям режущего инструмента с отрезаемым материалом.

Анализ предыдущих исследований. Экспериментальные исследования напряженно-деформированного состояния при отрезке деталей выполнены такими исследователями, как А.Ф. Лобовым [1], Г.А. Смирнов-Аляевым [2], И.А. Норицым, П.К. Кислым и др. [3]. По существу все эти исследования касались механики процесса

резки, определению усилия и работы резки и совершенно не исследовали усилий, действующих на рабочий инструмент (пуансон и матрицу). Первый анализ сил, действующих на инструмент при резке, приведен в работе Б.П. Звороно [4], в которой проведены исследования по определению сил трения вырезаемого металла о стенки матрицы и даётся величина распирающего усилия.

Все исследователи отмечают наличие концентрации напряжений на режущих кромках пуансона и матрицы, однако первую теоретическую попытку её количественного определения сделал В.Д. Головлёв [3]. Он принимает, что изменение нормального напряжения на пояске смятия (торцовой контактной поверхности вырезаемого металла с рабочим инструментом-пуансоном) происходит по параболическому закону. Данная работа позволила в первом приближении оценить величину максимальных напряжений на кромке.

Количественное исследование напряженного состояния материала при резке и напряжений, возникающих на контактных поверхностях, приведено П.Д. Чудаковым [5]. Однако необходимо отметить, что полученные выражения громоздки, а вычисление интересующих величин трудоемко и требует наличия экспериментальных данных.

В связи с этим вопросы определения напряжений на режущих кромках твердосплавного рабочего инструмента при отрезке приобретают особое значение.

Напряжения в твердосплавном рабочем инструменте при отрезке вызываются целым рядом факторов: усилием резания, неравномерным распределением температур

во время резания, остаточными напряжениями, возникающими в процессе изготовления рабочего инструмента, неоднородным составом твердого сплава и др.

Применяя охлаждение рабочих деталей штампа, температурные напряжения можно значительно снизить. Совершенствуя технологию получения и обработки твердосплавных деталей, можно устранить остаточные напряжения. Поэтому определяющими можно считать напряжения, возникающие на режущих кромках рабочего инструмента от усилия резания. Целью данного исследования и является определение этих напряжений без учёта влияния других факторов на напряженное состояние рабочих деталей отрезных штампов.

Результаты исследований. Эпюры нормальных нагрузок, действующих по торцовой и боковой рабочим поверхностям матриц и

1, где для упрощения задачи кривые заменены

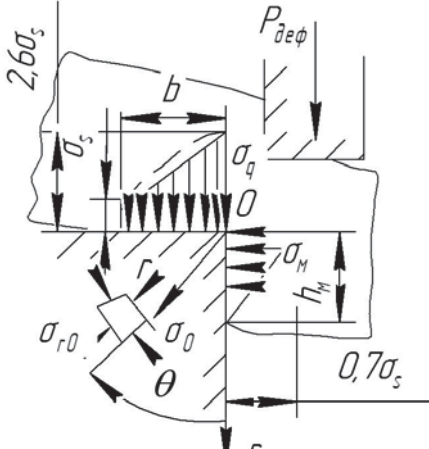

 σ_s - напряжение текучести отрезаемого металла при деформации $e = 0,2$

Рисунок 1 – Схема нормальных нагрузок, действующих на режущие кромки рабочего инструмента

пуансонов, представлены на рис. прямыми линиями. По боковой, вертикальной (рис. 1), поверхности действуют силы трения при проталкивании отрезаемого металла. На основании работ Б.П. Звороно [4] и М.Е. Зубцова [6] можно принять среднее значение коэффициента трения по боковой поверхности равным $f_2 = 0,20 \dots 0,25$.

Относительно коэффициента трения по пояску смятия, т.е. по торцовыми поверхностям соприкосновения пуансона и матрицы с заготовкой точные данные отсутствуют. Если значение f_1 принять равным среднему по длине контакта коэффициенту трения, то это представит известное приближение. По данным А.Г. Лисина [7] коэффициент трения по пояску смятия при отрезке штампами равен $f_1 = 0,2$.

Примерно такое же значение коэффициента трения дается и в работе [8].

Аналіз поля скоростей при отрязку показує, що отрязаний матеріал стремиться течь до зазору. Однак, ввиду великого сопротивлення течію, створюваного відносно малим об'ємом металла в зазорі і його упрочненням при отрязку без прижима вся заготовка буде роздаватися, т.е. буде мати місце течія металла з зазором.

Определений малий об'єм металла зовні різальної кромки може течію до зазору, однак основний об'єм металла буде переміщуватися від зазору, деформуючи (згинаючи) отрязаний лист. Це підтверджують результати дослідження, проведених А. Г. Лисиным.

При отрязку з прижимом, усилієм якого достатньо для предотвращення течії металла по пояску смятия, течія металла буде незначительним, а значить незначительним буде і утонення металла у зоні среза, т.е. отримання більш ровного среза.

В дійсності ширина області, охваченої течією матеріала в сторону зазору, по порівнянню з загальною шириной пояска смятия незначительна [7]. Точне визначення касательних напружень по торцевій поверхні в наявності не представляється можливим, тому розглянемо два випадків: 1) при дії касательних напружень по торцевій поверхні від зазору і 2) при дії касательних напружень на зазор.

Розподілення касательних напружень по торцевій і боковій поверхні робочого інструмента при отрязку для цих двох випадків наведено на рис. 2.

Розглядаючи різальну кромку штампового інструмента, як клин під дією навантаження, прикладеної по наклонним граням, можна визначити напруження, що виникають в ньому в процесі різання. Розглядаючи різальну кромку отрязаної матриці як клин під дією навантаження, прикладеної по його наклонним граням, предложил

а) при течії отрязаного металла від зазору; б) при течії отрязаного металла до зазору

Рисунок 2 – Схема касательних навантажень, діючих на різальну кромку робочого інструмента

В.П. Смолянінов [9]. Визначення напруження на різальну кромку при обробці різанням таким методом виконано в роботах [10] і [11].

Принимая во внимание схему нагрузки (рис. 1 и рис. 2), позволяющую брать только члены, содержащие $\frac{r}{R}$ при $n=0$ и $n=1$, находим следующие выражения для составляющих напряжения по восходящим степеням аргумента r :

$$\begin{cases} \sigma_r = 2(b_0 + d_0\theta - a_2 \cos 2\theta - C_2 \sin 2\theta) + 2r(b_1 \cos \theta + d_1 \sin \theta - 3a_3 \cos 3\theta - 3C_3 \sin 3\theta); \\ \sigma_\theta = 2(b_0 + d_0\theta + a_2 \cos 2\theta + C_2 \sin 2\theta) + 6r(b_1 \cos \theta + d_1 \sin \theta + a_3 \cos 3\theta + C_3 \sin 3\theta); \\ \tau_{r\theta} = -d_0 + 2a_2 \sin 2\theta - 2C_2 \cos 2\theta + 2r(b_1 \sin \theta - d_1 \cos \theta + 3a_3 \sin 3\theta + 3C_3 \cos 3\theta) \end{cases} \quad (1)$$

Для удобства отыскания коэффициентов граничные условия для двух случаев нагрузки можно записать в таком виде:

$$1) \begin{cases} (\sigma_\theta)_{\theta=\beta} = -N_1 + rN'_1; \\ (\sigma_\theta)_{\theta=0} = -N_2 + rN'_2; \\ (\tau_{r\theta})_{\theta=\beta} = -S_1 - rS'_1; \\ (\tau_{r\theta})_{\theta=0} = -S_2 + rS'_2 \end{cases} \quad 2) \begin{cases} (\sigma_\theta)_{\theta=\beta} = -N_1 + rN'_1; \\ (\sigma_\theta)_{\theta=0} = -N_2 + rN'_2; \\ (\tau_{r\theta})_{\theta=\beta} = -S_1 + rS'_1; \\ (\tau_{r\theta})_{\theta=0} = -S_2 + rS'_2 \end{cases} \quad (2)$$

N_1 – максимальное значение нормального контактного напряжения, действующего на торцевую грань, $N_1 = 2,6\sigma_{s0}$;

N_2 – максимальное значение нормального контактного напряжения, действующего на боковую грань, $N_2 = 0,7\sigma_{s0}$;

S_1 – максимальное значение касательного напряжения, действующего на торцовую грань, $S_1 = f_1 \cdot N_1 = 0,2N_1$;

S_2 – максимальное значение касательного напряжения, действующего на боковую грань, $S_2 = f_2 \cdot N_2 \approx (0,2..0,25)N_2$.

$$\begin{aligned} N'_1 &= \frac{N_1 - \sigma_s}{b} S_1 = f_1 \cdot N'_1 = f_1 \frac{N_1 - \sigma_s}{b}; \\ N'_2 &= \frac{N_2}{h_M} S'_2 = f_2 \cdot N'_2 = f_2 \frac{N_2}{h_M}. \end{aligned}$$

Приравнивая коэффициенты при одинаковых степенях аргумента r выражений (1) и (2) и учитывая, что в матрицах и пуансонах обычно угол $\beta = \frac{\pi}{2}$, получим уравнения для определения произвольных постоянных для двух случаев нагрузки:

$$1) \begin{cases} 2\left(b_0 + d_0 \cdot \frac{\pi}{2} - a_2\right) = -N_1; \\ 2(b_0 + a_2) = -N_2; \\ 6(d_1 - C_3) = N'_1; \\ 6(b_1 - a_3) = N'_2; \\ -d_0 + 2C_2 = S_1; \\ -d_0 - 2C_2 = -S_2; \\ 2(b_1 - 3a_3) = -S'_1; \\ 2(d_1 - 3C_3) = S'_2 \end{cases} \quad 2) \begin{cases} 2\left(b_0 + d_0 \cdot \frac{\pi}{2} - a_2\right) = -N_1; \\ 2(b_0 + a_2) = -N_2; \\ 6(d_1 - C_3) = N'_1; \\ 6(b_1 - a_3) = N'_2; \\ -d_0 + 2C_2 = -S_1; \\ -d_0 - 2C_2 = -S_2; \\ 2(b_1 - 3a_3) = S'_1; \\ 2(d_1 - 3C_3) = S'_2 \end{cases} \quad (3)$$

Находим значения коэффициентов:

$$\left\{ \begin{array}{l} b_0 = \frac{\pi(S_1 - S_2)}{8} - \frac{N_1 + N_2}{4}; \\ d_0 = -\frac{S_1 - S_2}{2}; \\ b_1 = \frac{N'_2 - S'_1}{8}; \\ d_1 = \frac{N'_1 - S'_2}{8}; \\ a_2 = \frac{N_1 - N_2}{4} - \frac{\pi(S_1 - S_2)}{8}; \\ C_2 = \frac{S_1 + S_2}{4}; \\ a_3 = \frac{N'_2 + 3S'_1}{24}; \\ C_3 = -\frac{N'_1 + 3S'_2}{24} \end{array} \right. \quad \left\{ \begin{array}{l} b_0 = -\frac{\pi(S_1 - S_2)}{8} - \frac{N_1 + N_2}{4}; \\ d_0 = \frac{S_1 + S_2}{2}; \\ b_1 = \frac{N'_2 + S'_1}{8}; \\ d_1 = \frac{N'_1 - S'_2}{8}; \\ a_2 = \frac{N_1 - N_2}{4} + \frac{\pi(S_1 + S_2)}{8}; \\ C_2 = -\frac{S_1 - S_2}{4}; \\ a_3 = \frac{N'_2 - 3S'_1}{24}; \\ C_3 = -\frac{N'_1 + 3S'_2}{24} \end{array} \right. \quad (4)$$

Из выражений (3) и (4) легко найти напряжения, возникающие на режущих кромках рабочего инструмента в процессе отрезки от усилия резания. Эти выражения позволяют вычислить напряжения во всей области режущей части инструмента, ограниченной площадью контакта с отрезаемым материалом.

Необходимо отметить, что режущего инструмента с абсолютно острой режущей кромкой в действительности быть не может, так как радиус округления режущей кромки всегда больше нуля, даже для только что изготовленного инструмента. Поэтому в области, непосредственно примыкающей к режущей кромке, нет нарушения закона парности касательных напряжений, которые возникают при теоретическом рассмотрении точки на самом острие режущей кромки при направлении касательных напряжений по торцовой грани к кромке, а по боковой – от кромки.

Поскольку нет единого мнения по вопросам направления касательных напряжений по поиску смятия, проведенные теоретические исследования показали, что течение вырезаемого металла может происходить и в зазор, и от зазора, в зависимости от того, что будет больше: сопротивление раздаче вырезаемой заготовки или сопротивление течению металла в зазор. Для проверки правильности теоретических выводов и было выполнено экспериментальное определение направления течения отрезаемого металла.

Исследование проводилось на алюминиевых образцах толщиной $h = 4$ мм. На заготовках с размерами 30x30 мм после подготовки поверхностей на мелкозернистой наждачной бумаге специальной иглой наносились лунки (рис. 3, а). Расстояния между лунками замерялись на большом инструментальном микроскопе типа БМИ с точностью 0,005 мм. В подготовленных заготовках пробивались отверстия диаметром 20 мм на экспериментальном штампе, после чего снова измерялись расстояния между теми же лунками (рис. 3, б). По разности замеров судили о направлении течения вырезаемого металла по торцовой контактной поверхности рабочего инструмента.

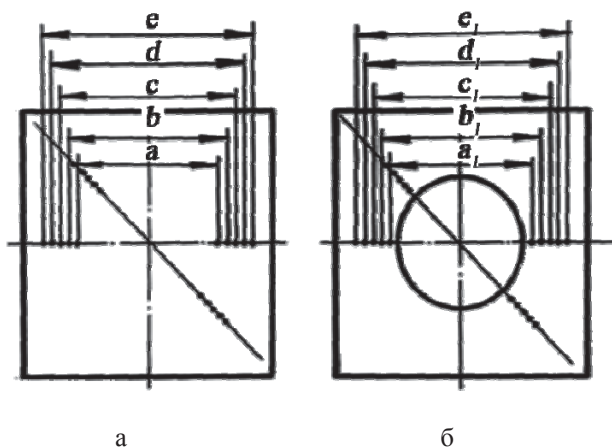


Рисунок 3 – Схема определения направления течения отрезаемого металла по торцовой контактной поверхности инструмента

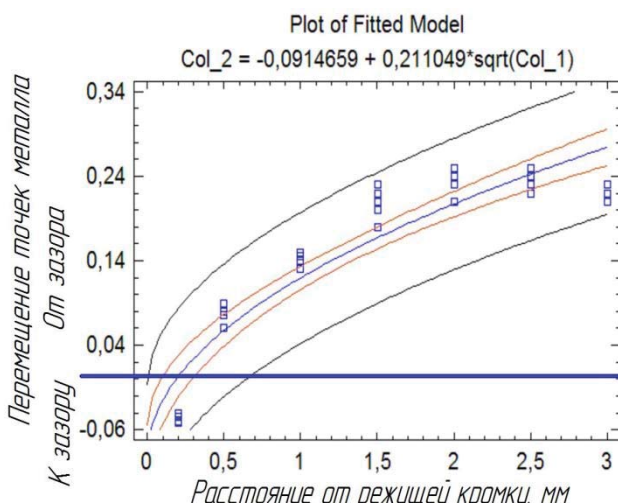


Рисунок 4 – График течения отрезаемого металла по торцовой контактной поверхности матрицы в зависимости от расстояния до режущей кромки (алюминиевые заготовки 30×30 мм толщиной $h=4$ мм, ширина перемычки 5 мм, смазка - машинное масло)

выводы о преобладающем направлении течения металла при имеющейся в наличии малой зоне течения металла в зазор.

Список литературы

- Лобов А.Ф. Напряженно-деформированное состояние при вырубке деталей штампами / А.Ф. Лобов // Прогрессивная технология кузнечно-штамповочного производства. – М., 1953. – С. 72-83.
- Смирнов-Аляев Г.А. Холодная штамповка в приборостроении / Г.А. Смирнов-Аляев, Д.А. Вайнтрауб. – Л.: Машгиз, 1963. – 410 с.
- Головлев В.Д. Исследование процесса вырубки-пробивки / В.Д. Головлев // Новое в области штамповочной технологии. – М.: Машгиз, 1951. – С. 86–92.
- Зворено Б.П. Расчет и конструирование штампов для холодной штамповки / Б.П. Зворено. – М.: Машгиз, 1949. – 196 с.
- Сен-Венан Б. Об установлении уравнений внутренних движений, возникающих в твердых пластических телах за пределами упругости / Б. Сен-Венан // Теория пластичности. – М.: ИЛ, 1948. – С. 11–19.

Измерялись также расстояния между лунками и кромкой среза. По данным замеров был построен график изменения перемещения точек вырезаемого металла в зависимости от расстояния до режущей кромки (рис. 4).

Величина перемещения точек отрезаемого металла зависит от многих факторов: механических свойств отрезаемого металла, ширины перемычки при отрезке, смазке и т.д., однако, касаясь только качественной стороны этого вопроса, из рис. 4 видно, что по ширине пояска смятия в основном наблюдается течение отрезаемого металла от вершины режущей кромки (от зазора). Величина перемещения металла от зазора с приближением к вершине рабочей кромки уменьшается и на малом участке возле самой вершины возможно течение в зазор.

Величина течения отрезаемого металла по торцовой контактной поверхности пуансона значительно меньше, чем по поверхности матрицы, однако характер изменения течения по ширине пояска смятия такой же.

Выводы. В результате проведенных исследований определены нагрузки, действующие по контактным поверхностям режущего инструмента с отрезаемым материалом без учёта влияния других факторов на напряженное состояние рабочих деталей отрезных штампов.

Выполненные экспериментальные исследования подтвердили теоретические

6. Зубцов М.Е. Листовая штамповка. 3-е изд., перераб. и доп. / М.Е. Зубцов. – Л.: Машиностроение, Ленингр. отд-ние, 1980. – 432 с.
7. Лисин А.Г. Исследование влияния некоторых факторов на деформацию заготовки по пояску смятия при вырубке и пробивке / А.Г. Лисин // Кузнечно-штамповочное производство. – 1970. – № 6. – С. 19-21.
8. Павельский О. Новый прибор для определения коэффициента трения при пластической деформации / О. Павельский // Черные металлы (Stahl und Eisen). – № 20. – 1964. – С. 36–42.
9. Хмара С.М. К определению напряжений на режущих кромках вырезных твердосплавных матриц / С.М. Хмара, В.П. Смолянинов, А.А. Коломойцев, В.И. Рудь // Кузнечно-штамповочное производство. – 1966. – № 6. – С.22-24.
10. Archibald F.R. Analysis of the Cutting Ende, Trans of the ASME, august 1956, Vol. 78.
11. Бетанели А.И. К обобщению метода расчета прочности режущей части инструмента / А.И. Бтанели // Вестник машиностроения. – Тбилиси, 1965. – Вып. 2. – С. 14–19.

Vladimir Khorolskyi

Kremenchuk Mykhailo Ostrohradskyi National University

On the Determination of the Stress-Strain State in the Segment Parts in Dies

The purpose of this research is to determine the stresses arising at the cutting edges of the working tool of cutting forces on the stress state of the working parts of cutting dies.

The paper discusses the issues of determining the normal and tangential forces acting on the cutting edge of the cutting dies, there are derived the equations to determine the arbitrary constant load. Experimental studies determine the direction of flow of the cut metal.

Conclusions. The studies identified the loads acting on the contact surfaces of the cutting tool with cut material without considering the influence of other factors on the state of stress of the working parts of cutting dies. Fulfilled experimental studies confirmed the theoretical conclusions about the predominant direction of flow of the cut metal from the gap when cutting without clamp with the available small area of the metal flow in the gap.

cutting dies, the cutting edge, stresses, flow the metal

Одержано 31.10.14

УДК 621. 9. 048. 4

В.М.Шмельов, канд. техн. наук

Криворізький національний технічний університет

Оптимізація якісних характеристик поверхонь робочих деталей розділових штампів в умовах розмірної обробки електричною дугою

Виконано оптимізацію якісних характеристик поверхонь робочих деталей розділових штампів в умовах розмірної обробки електричною дугою (РОД). Показано залежність між конструкцією матриці і необхідною шорсткістю її робочої поверхні. Описано залежності якості обробленої поверхні робочих деталей розділових штампів від технологічних характеристик процесу РОД.

шорсткість, технологічний струм, статичний тиск потоку робочої рідини, матриця, пuhanсон, розділовий штамп

В.Н.Шмелев, канд. техн. наук

Криворізький національний технічний університет

Оптимизация качественных характеристик поверхностей рабочих деталей разделительных штампов в условиях размерной обработки электрической дугой